

建設省工木研究所鹿島試験所 正員 山本昇一
， 野積 前

1. はじめに

前年度の報告において、筆者は海波形状を決める無次元量を同一とすれば、そこに生じる ripple 形状も、ほぼ相似形になることを述べた。最終海波形状は

$$\frac{U}{L_0} = f\left(\frac{x}{L_0}, \frac{H}{L_0}, \sqrt{gH_0}/W_0, S, \frac{\sqrt{D} H_0^{1/2}}{W_0^2}, i_0\right) \quad \dots \dots \dots (1)$$

によって決まり、ripple 形状を決める無次元量は、

$$U - \Psi \left(\frac{U}{L_0}, \frac{U}{W_0}, \frac{U}{d_0}, S \right) \quad \dots \dots \dots (2)$$

である。ここで粒径項は二次的であり、この時には、一式が成立すれば、二式も成立する。ここで W_0 は沈降速度、 U 、 d_0 は境界層外縁の最大水粒子速度および軌道長である。本報告では、ripple と二次元的海波変形についてより詳しく述べる。

2. 砂の移動方向と海岸変化

まず始めに質量輸送速度の分布形について考えてみよう。Longuet-Higgin の理論、Eagleson, Dean の実験、野田の乱流境界層の理論によると、有限な二次元水路、一定水深では表面が flat の場合、表面近くの質量輸送の方向はすべて岸向きとなる。表面が傾いて傾斜床の場合、文献(i) $i_0 = 1/4$ 、筆者実験 $i_0 = 1/30$ 図 1 のように碎波点より沖側では、表面近くは岸向きである。

ところで図 1 に示すような質量輸送パターンは海岸に ripple などがある在する移動床でも生じるだろうか。筆者の観測、Scott の観測例によると、種々の質量輸送パターンがあるが、基本的には二つの型に分けらぬようだ。

I 型、表面には ripple は存在しないが、あるいは、ripple 波形 $\sqrt{H_0}/W_0$ が小さい場合で、 $\sqrt{H_0}/W_0$ (U_s/W_0) が大きい場合で

ある。このような場合には、ripple による渦の発生は無く、平坦河床の場合と同様な質量輸送の分布となる。なお砂 ($S=1.65$) の場合、ripple が発生すると、 $\sqrt{H_0}/W_0$ が大きいため、次の II 型に入ってしまい、ripple の発生しない場合のみに限るようだ。

II 型: $\sqrt{H_0}/W_0$ が少し大きくなると、表面には明確な ripple が生じ、碎波点より少し沖側では、岸側に急斜面を持つ ripple が生じ、岸側の急斜面のみ、および岸側の方が強、渦を生じ、表面の質量輸送は沖を向む、ripple は岸向きに前進する。ある程度水深の深い所では、ripple はほぼ対称形であり、 U_s/W_0 が小さい時は、まだ flat であり、大きくなると尖がってきて両側で渦が発生する。この場所では表面の質量輸送速度は岸向きであり、ripple の移動速度は遅く、どちらかというと沖向きである。

III 型: $\sqrt{H_0}/W_0$ が大きくなると碎波点より少し沖側では、ripple は頂部が平らになり、両側に渦を生じたり、ripple 全体が左右に振動するようになり、渦の発生は無くなる。より $\sqrt{H_0}/W_0$ が大きくなると、ripple は消滅してしまう。このような場合の質量輸送の方向は岸向きとなり、ripple の動きは小さく冲を向む。

こへようには質量輸送の方向、ripple の移動方向、砂移動方向は、底床 ripple の形状と関連性があり、ripple が、ほぼ対称形をしている場合には岸向きに流れ、非対称形の場合には、ripple の二つの斜面の内、急勾配の方から流れれる。この ripple の非対称性は、表面近くの水粒子の往復運動の非対称性と深く結びつきがあ

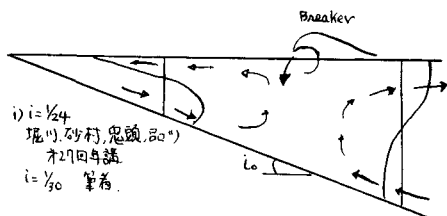


図 1 Flat bed の質量輸送

り、岸向きの方が速いと、ripple は岸側の方が勾配が急にあり、それによって片側のみで渦の発生が見られるようになる。渦の発生するのは急勾配の斜面の側であり、この渦の発生が、水粒子の行きと帰りの移動距離を異ならしめる。つまり岸向きの流れの時、水粒子は渦にはまらず、岸側に近づけない。これが、岸側の斜面により強く渦が生じる場合、底質の質量輸送速度が沖に向く原因である。なお水粒子の非対称的運動は、波が岸に近くまで、水深の影響を受け、微少振幅波なら、有限振幅波に変わるために、岸向きの方が速くなり、また斜面はこの効果を強めているからと思われる。

次に砂の移動について述べてみよう。碎波点より少し沖側の場所で、 U_s/W_0 が小さい内は、砂移動は掃流型式であり、岸向きの強い水粒子運動によって、岸向きに動きの方が多い、ripple も岸向きに前進する。(Scott の実験範囲 $\sqrt{H_0}/W_0 = 15 \sim 25$ では、ripple の前進速度は、岸向きと沖向きの水粒子の速度差が大きいほど速い。) このため初期形状として直線的に整形していくれば、碎波点の沖側は侵食され、前進の方へエ砂移動を生じせしめろ。ただし、冲端に突き立つ場合には、底質移動に斜面方向の重力効果を受け、碎波点の背後に堆積する。 U_s/W_0 が大きくなると、浮遊砂が多くなり、渦による斜面上の砂の lift up によって ripple の前進速度は遅くなるようであり、浮遊させた底質の質量輸送に乗って沖に向かい、沖向きのエ砂移動量が多くなる。したがって碎波点の背後では、エ砂が堆積するようになる。より U_s/W_0 が大きくなると、質量輸送がⅢ型に入り、エ砂は碎波点方向に運ばれるようだ。

図2にⅠ型の例、図3にⅢ型の例を示す。また質量輸送のパターンを決める無次元量は(1)式で良いと考えられ、また粘性項、およびさほどのより大きな影響を及ぼさないと想われる所以、 H_0/L_0 と $\sqrt{H_0}/W_0$ を整理したのが、図4である。これによると同一 H_0/L_0 に対して S の小さい石炭粉は、小さく $\sqrt{H_0}/W_0$ がⅢ型に入る。これは石炭粉の方が、ripple が flat であり、また ripple の消滅限界の $\sqrt{H_0}/W_0$ が砂よりも小さいためである。

図5には、碎波点の背後がすらなりの A型、堆積する B型を同様に H_0/L_0 、 $\sqrt{H_0}/W_0$ で示して、A型とB型の境界は $H_0/L_0 \cdot \sqrt{H_0}/W_0 = 3.2$ (砂の場合) となる。同一 $\sqrt{H_0}/W_0$ に対して H_0/L_0 が大きくなると底面の U_s/W_0 が増し、底質がより動きやすくなるので、この傾きの原因である。

また H_0/L_0 が 0.04、 $\sqrt{H_0}/W_0$ が 80～100 で Aタイプが現われている。これで質量輸送がⅢ型に入らなくなるであろう。

3. 反射波による Bar と ripple

反射波によって波長 $1/2 L_0$ の Bar が発生する。この Bar の発生を flat bed の質量輸送速度より求めようとした研究もあるが、これも ripple が発生すると問題が多い。Bar 頂の発生点は、ripple が発生しているような場合で、 U_s/W_0 が小さい時には掃流型式でエ砂が節になり、節の部分は U_s/W_0 が大きいので底質が動きず、取り残された形となり、節より Bar 頂が低い山を作る。多かれ少なかれ U_s/W_0 が大きくなると節の部分の底質も動き出し、山が低くなり、節のみに Bar 頂を作る。これより U_s/W_0 が大きくなると

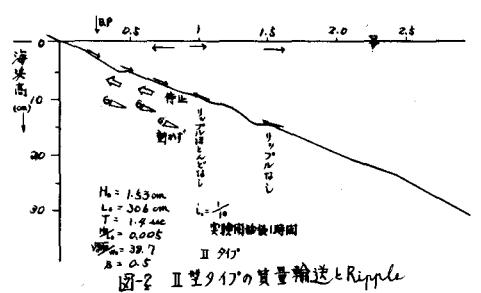


図2 Ⅱ型タイプの質量輸送と Ripple

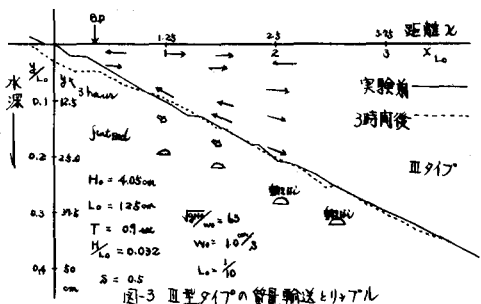


図3 Ⅲ型タイプの質量輸送と Ripple

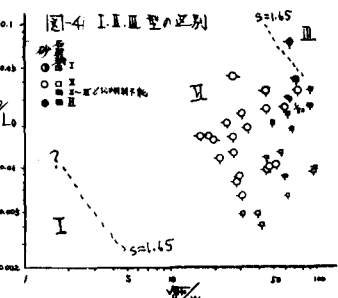


図4 I, II, III型の区別

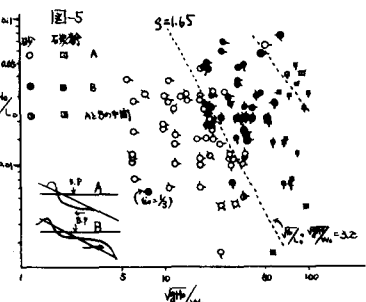


図5 砂質

浮遊砂が多くなり、また ripple も消滅し始め、底面水粒子の動きの少ない、腹の部分に堆積するようだ。なお水粒子は常に向う時の方が、腹に向う時より速く動き強い渦を生じている。この原因は、きりしないが、有限振幅波の二次のオーダーの頂点が原因するものと考えられる。

4. 波による底質のふるい分け作用と ripple

混合砂の波によるふるい分け作用を、flat bed の質量輸送分布より説明しようとするEagleson的考え方には問題が多いことは前述した通りである。そこで2ケースばかり実験を行って、どのような現象が生じるか観察してみた。混合砂の場合、粒子径ごとに、水粒子に対する影響特性が異なるために、ripple は発生しにくく、ケース1の場合には、砂粒子が活発に動いていてripple が発生せず、大型の質量輸送パターンとなる。この場合、碎波点より沖側は、粗砂によつて徐々に占有されるとと思われるが、粗砂は、細粒子が動いてしまうと、砂面より突出高が高くなり動きやすくなるため、細砂と同様に岸向きに運ばれて、前波では、水路幅80cm内で碎波点と汀線間で循環流が発生し、その方向が変ゆるくなるが、細砂と粗砂が層状になると、K. ケース2の場合、波高を大きくしたためripple が発生し、25時間目の観測では、大型の質量輸送パターンとなる。次に観測レコード7.5時間目には海底が大きく変わつて、8.3mまでripple は無く、それより沖でripple が発生していった。実験設備の關係と水深40cm以上の質量輸送は観測し難く、どちらもパターンの判断ができなかつた。底質材料は、9, 10mでより小粒径が増し、細砂の質量輸送に乗り冲に、粗砂は、運ばれていず、砂州部に残つたものと思われる。以上の結果は底質のふるい分け現象に対するもの。

ripple の発生とその

形態が重要なfactorであることを示してある

5. 離岸流と海底地形

離岸流のパターン化

式に波向きを加えれば、式で表わせるも

のと想われる。筆者は

千代川、手取川等の加

口模型実験を行つた。

ここで生じた離岸流を

観察したが、二、三注

意していい方があつた。

現象を報告しておこう。

$\sqrt{H_0} / W_0$ が小さい時は、

beach caps を生じ、凸部には上がり波の凹部に流れ込む、石炭粉を行なつた場合には $\sqrt{H_0} / W_0$ が大きくなると、large scale の循環流が生じた。

離岸流と波の干渉は強く、波峰下くれば、土砂は離岸流部に堆積するようであつた。

離岸流部はほつらという他の観測結果もあり、離岸流と海底変化の関係は、 $\sqrt{H_0} / W_0$, H_0 / L_0 によって変わるものと思われる。

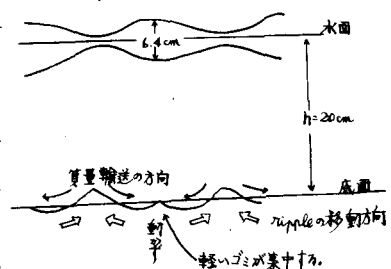
また観測時間が長い時は、それがともに平衡状態でおこるであろう。

機会があつたは実験的に検討してみた。

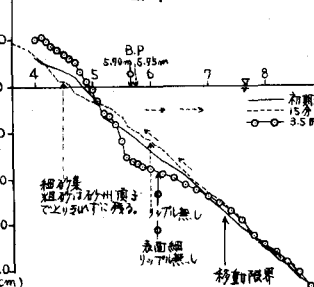
参考文献2) 山本、野瀬、海床変形の相似性に関する研究、工芸研究所資料975号 3) Saville、岩垣、野田、Nayak、田中

新保、須賀、末吉、尾崎、I.J. Popov; M. Watt; Eagleson 等。論文。

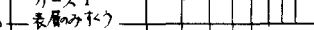
図-6 $W_0 = 10\text{cm}$, $H_0 = 6.4\text{cm}$, $h = 20\text{cm}$, $T = 1.14\text{sec}$, ほぼ完全反射
かみのけの発生制



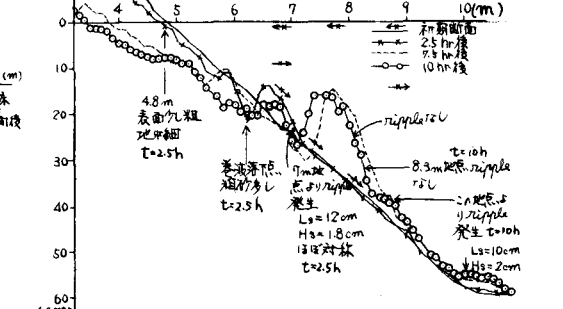
ケース1 図7



ケース2 図8



ケース2 図8



ケース2 図8

